

КРАТКИЕ СООБЩЕНИЯ

**РАСПРОСТРАНЕНИЕ ПЛАМЕНИ РАСПАДА ПЕРЕКИСИ ВОДОРОДА
В ГАЗОВОЙ ФАЗЕ**

*В. Я. Басевич, В. П. Володин, С. М. Когарко,
Н. И. Перегудов*
(*Москва*)

По разложению перекиси водорода в литературе имеются отрывочные данные о том, что она легко детонирует в жидким и газообразном состояниях, и практически отсутствуют сведения о возможности нормального распространения пламени в смесях перекиси водорода с инертными газами [1, 2]. Кинетика реакций перекиси водорода изучалась в [3, 4]. Цель данной работы — методом расчета исследовать возможность распространения нормального пламени в смесях парообразной перекиси водорода с инертным газом.

Таблица 1

Номер реак- ции	Реакция	A_{ij} , см ³ / (моляр.с)	E_{ij} , кДж/моль	h_{ij} , кДж/моль
28a	$\text{H}_2\text{O}_2 + \text{M} \rightarrow 2\text{OH} + \text{M}$	$6,75 \cdot 10^{-8}$	175	208
28	$2\text{OH} + \text{M} \rightarrow \text{H}_2\text{O}_2 + \text{H}$	$1,2 \cdot 10^{-30}$	0	-208
1	$\text{H}_2 + \text{OH} \rightarrow \text{H}_2\text{O} + \text{H}$	$4,0 \cdot 10^{-11}$	21,6	-62,5
2	$\text{H}_2\text{O} + \text{H} \rightarrow \text{H}_2 + \text{OH}$	$3,2 \cdot 10^{-11}$	72,9	62,5
3	$\text{H} + \text{O}_2 \rightarrow \text{OH} + \text{O}$	$1,3 \cdot 10^{-10}$	66,5	71
4	$\text{OH} + \text{O} \rightarrow \text{H} + \text{O}_2$	$5 \cdot 10^{-11}$	5	-71
5	$\text{O} + \text{H}_2 \rightarrow \text{OH} + \text{H}$	$4,2 \cdot 10^{-12}$	32,1	8,3
6	$\text{OH} + \text{H} \rightarrow \text{O} + \text{H}_2$	10^{-11}	31,2	-8,3
7	$\text{H} + \text{O}_2 + \text{M} \rightarrow \text{HO}_2 + \text{M}$	$5 \cdot 10^{-33}$	0	-196
7.1	$\text{HO}_2 + \text{M} \rightarrow \text{H} + \text{O}_2 + \text{M}$	$2,8 \cdot 10^{-9}$	205	196
9	$\text{OH} + \text{OH} \rightarrow \text{H}_2\text{O} + \text{O}$	$2,4 \cdot 10^{-11}$	0	-71
10	$\text{O} + \text{H}_2\text{O} \rightarrow \text{OH} + \text{OH}$	$2,7 \cdot 10^{-10}$	75,8	71
11	$\text{H} + \text{H} + \text{M} \rightarrow \text{H}_2 + \text{M}$	10^{-32}	0	-430
11.1	$\text{H}_2 + \text{M} \rightarrow 2\text{H} + \text{M}$	$9,15 \cdot 10^{-8}$	436	430
12	$\text{O} + \text{O} + \text{M} \rightarrow \text{O}_2 + \text{M}$	$5 \cdot 10^{-33}$	0	-492
82	$\text{O}_2 + \text{M} \rightarrow \text{O} + \text{O} + \text{M}$	$2,5 \cdot 10^{-7}$	500	492
13	$\text{OH} + \text{H} + \text{M} \rightarrow \text{H}_2\text{O} + \text{M}$	10^{-31}	0	-492
13.1	$\text{H}_2\text{O} + \text{M} \rightarrow \text{H} + \text{OH} + \text{M}$	$9,8 \cdot 10^{-6}$	503	492
17	$\text{H} + \text{HO}_2 \rightarrow 2\text{OH}$	10^{-11}	0	-154
17.1	$2\text{OH} \rightarrow \text{H} + \text{HO}_2$	$8 \cdot 10^{-13}$	157	154
8	$\text{H}_2\text{O}_2 + \text{OH} \rightarrow \text{HO}_2 + \text{H}_2\text{O}$	$1,3 \cdot 10^{-11}$	6,7	-129
8.1	$\text{HO}_2 + \text{H}_2\text{O} \rightarrow \text{H}_2\text{O}_2 + \text{OH}$	10^{-13}	129	129
29a	$2\text{HO}_2 \rightarrow \text{H}_2\text{O}_2 + \text{O}_2$	$4 \cdot 10^{-11}$	6,3	-167
29a.1	$\text{H}_2\text{O}_2 + \text{O}_2 \rightarrow 2\text{HO}_2$	10^{-10}	167	167

В [5, 6] сопоставлены экспериментальные кинетические данные по самовоспламенению и реакции перекиси водорода в струе с расчетами на основе достаточно подробного и полного механизма реакции, получено удовлетворительное соответствие между ними. Это позволяет кинетический механизм реакций перекиси водорода использовать для теоретического расчета пламени распада и нахождения его количественных характеристик.

Одномерное стационарное распространение пламени описывается системой уравнений баланса тепла и веществ, участвующих в реакции [7, с. 489]:

$$\begin{aligned} d/dx \cdot \lambda \cdot dT/dx - c\rho_0 u_n \cdot dT/dx + \sum h_{ij} W_{ij} &= 0, \\ \frac{d}{dx} D_j \rho \cdot \frac{d(n_j/\rho)}{dx} - \rho_0 u_n \frac{d(n_j/\rho)}{dx} + \sum W_{ij} &= 0, \end{aligned} \quad (1)$$

где T — температура; λ — коэффициент молекулярной теплопроводности; ρ_0 и ρ — начальная и текущие плотности; u_n — нормальная скорость распространения пламени; x — координата; c — теплоемкость; n_i и D_i — концентрация и коэффициент диффузии j -го компонента химической реакции; W_{ij} и h_{ij} — i -я скорость и тепловой эффект реакции для элементарного акта с участием j -го компонента.

Эквивалентное описание распространения пламени получается после выхода на стационар решения системы уравнений (1) при замене во вторых членах системы

$$u_n/dx = 1/dt, \quad (2)$$

где t — время. Система уравнений (1) после замены (2) вместе с начальными и граничными условиями

$$\begin{aligned} t = 0 \quad n = n_{1j} \quad T = T_1 \\ x = x_\infty \quad \frac{dT}{dx} = \rho \frac{d \cdot n_j / \rho}{dx} = 0 \end{aligned} \quad \text{для } x = 0 \div x_1; \quad \begin{aligned} n = n_{\ell j} \\ T = T_0 \end{aligned} \quad \text{для } x = x_1 \div x_\infty;$$

численно интегрировалась для 8 компонентов реакции ($j = \text{H}_2\text{O}_2, \text{OH}, \text{H}, \text{O}, \text{HO}_2, \text{H}_2, \text{H}_2\text{O}, \text{O}_2$).

Схема реакции (табл. 1), на основе которой составлялись члены $\sum W_{ij}$ и $\sum h_{ij} W_{ij}$, соответствует данным [5, 6], а также [7, с. 420]. Выражение для константы скорости элементарного акта принято в

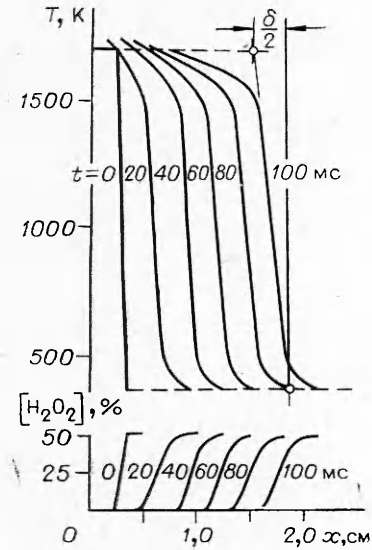


Рис. 1.

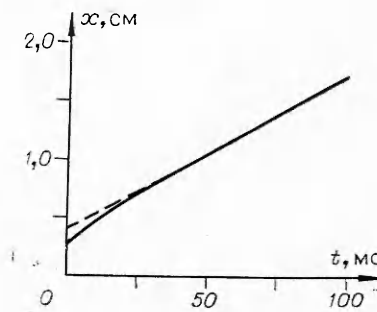


Рис. 2.

Таблица 2

Начальные условия	Вариант	
	1	2
$T_0, \text{ К}$	373	
$n(\text{H}_2\text{O}_2)_0, \%$	30	50
$T_1, \text{ К}$	1300	1700
$n(\text{H}_2\text{O})_1, \%$	26	40
$n(\text{O}_2)_1, \%$	13	20
$C, \text{ кал}/(\text{моль}\cdot\text{град})$	9	10

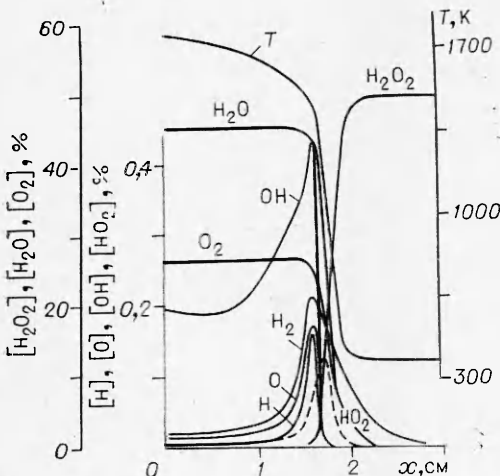


Рис. 3.

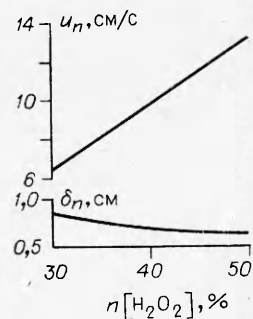


Рис. 4.

виде $k_{ij} = A_{ij} \exp(-E_{ij}/RT)$, причем A_{ij} и E_{ij} взяты такими же, как в [5, 6] (R — газовая постоянная). Значения A_{ij} и E_{ij} для обратных реакций рассчитывались на основе констант равновесия [8].

Расчеты проводились для условий, в которых возможно и удобно проведение экспериментов (табл. 2), повышенная начальная температура T_0 необходима для создания нужной упругости пара, инертный разбавитель (азот) замедляет реакцию, общее давление $p = 34$ кПа. Условия на отрезке $x = 0 \div x_1$ взяты такими, чтобы могло произойти зажигание соседних слоев при $x > x_1$ и распространение пламени; температура T_1 выбрана более или менее близкой к адиабатической, а состав (концентрация H_2O и O_2) приблизительно соответствует концентрации стабильных продуктов реакции.

Принято, что $\lambda = \lambda_*(T/T_*)^{0.7}$, $\rho = \rho_*(T_*/T)(p/p_*)$, $D_j = D_{*j}(p_*/p) \times (T/T_*)^{1.75}$, где p — давление, индекс * соответствует отнесению к нормальным условиям ($p_* = 103$ кПа, $T_* = 293$ К, $\lambda_* = 5.1 \cdot 10^{-5}$ кал/(см·с·град), $\rho_* = 4.16 \cdot 10^{-5}$ моль/см³). Значения коэффициентов диффузии взяты по справочным данным или оценены приближенно:

Вещество	H_2O_2	OH	H	O	HO_2	H_2	H_2O	O_2
D_{*j} , см ² /с	0,22	0,32	1,06	0,34	9,22	0,79	0,40	0,27

На рис. 1 представлен пример результатов расчета распространения пламени распада — распределение T и концентрации H_2O_2 для различных значений времени t (условия варианта 2). Наличие участка $T > T_1$ для малых x объясняется влиянием начальных условий и неравенством единице числа Льюиса — Семенова.

Скорость распространения пламени может быть определена как скорость движения точки профиля со средней температурой T_{cp} и концентрацией $[H_2O_2]_{cp}$. На рис. 2 (условия варианта 2) нанесены траектории этих точек в координатах $x - t$. Наклон линии к оси времени дает нормальную скорость распространения пламени u_n . Видно, что условие стационарности выполняется уже с достаточно малого времени. Кривые на рис. 3 (условия варианта 2) представляют полученные профили всех концентраций. Видно, что концентрации активных центров O , H , OH и HO_2 по абсолютной величине сопоставимы с их концентрациями в зоне горения бедных водородно-кислородных пламен [9].

На рис. 4 даны значения u_n и ширины зоны реакции δ_n при изменении процентного содержания перекиси. Условно за ширину зоны реакции δ_n принята удвоенная проекция на координатную ось отрезка касательной с максимальным градиентом к температурному (концентрационному) профилю между точками T_1 и T_0 (0 и $[H_2O_2]_0$) соответственно.

Проведенные расчеты, по-видимому, могут быть уточнены, однако есть все основания предполагать, что они качественно правильно описывают распространение пламени распада перекиси водорода. Желательно проведение соответствующих экспериментов для проверки теории.

Поступила в редакцию
29/III 1979

ЛИТЕРАТУРА

1. У. Шамб, Ч. Сетерфилд, Р. Вентворс. Перекись водорода. М., ИЛ, 1958.
2. С. Сарнер. Химия ракетных топлив. М., Мир, 1969.
3. R. R. Baldwin, D. Bratten. 8-th Symp. (Int.) on Combustion, Williams and Wilkins, 1962, p. 110.
4. E. A. Albers, K. Hoegemann et al. 13-th Symp. (Int.) on Combustion, Comb. Inst. N. Y., 1971, p. 81.
5. В. Я. Басевич, С. М. Когарко, Г. А. Фурман. Изв. АН СССР, сер. хим., 1975, 7.
6. В. Я. Басевич, С. М. Когарко, О. Ю. Бerezin. Изв. АН СССР, сер. хим., 1979, 9, 1986.
7. В. Н. Кондратьев, Е. Е. Никитин. Кинетика и механизм газофазных реакций. М., Наука, 1974.
8. Л. В. Гурвич и др. Термодинамические свойства индивидуальных веществ. М., Наука, 1974.
9. В. Я. Басевич, С. М. Когарко. Кинетика и катализ, 1965, 6, 23.

ТЕРМОГРАФИЧЕСКОЕ ИССЛЕДОВАНИЕ ПРОЦЕССОВ САМОВОСПЛАМЕНЕНИЯ ДВОЙНЫХ СМЕСЕЙ СЕРЫ С ОКИСЛИТЕЛЯМИ

B. Г. Иванов, Г. В. Иванов, П. В. Лапин
(Томск)

Роль плавления и растекания одного из компонентов в процессах горения гетерогенных конденсированных систем обсуждалась в [1—4], где показано, что происходящее при растекании более легкоплавкого компонента сильное уменьшение масштаба гетерогенности приводит к интенсивности химического взаимодействия реагентов. Плавление и капиллярное растекание одного из наиболее легкоплавких пиротехнических горючих — серы ($T_{пл} = 112,8^{\circ}\text{C}$) — благодаря высокой ее текучести [5] должно оказывать сильное влияние на характер самовоспламенения и горения содержащих ее пиросоставов. Специфическими свойствами серы являются также отсутствие окисной пленки на поверхности частиц и значительное увеличение объема (~15%) при плавлении [5]. Известно [6], что сера способна к горению в двойных смесях лишь с хлоратами и перхлоратами. Авторами данной работы установлено, что сера способна гореть в двойных смесях с окислом — йодноватым ангидридом (I_2O_5), причем горение их протекает в низкотемпературном беспламенном режиме.

В настоящей работе изучалось самовоспламенение двойных стехиометрических смесей серы с $KClO_3$, $KClO_4$ и I_2O_5 методом ДТА [7, 8]. Запись сигналов микротермопар (диаметр 50 мкм) осуществлялась шлейфовым осциллографом Н-041. Использованная измерительная схема, предусматривающая вывод сигнала дифференциальной термопары параллельно на гальванометры с различной чувствительностью, позволяла кроме обычной записи ДТА (рис. 1) получить полную температурную кривую воспламенения и горения смесей (рис. 2). Использовались порошки серы и окислителей дисперсностью 5—20 мкм. Навески смесей по 125 мг с